

Komplexní zpracování dat z pyrolýzy uhlovodíkové směsi

Jan Bartoň, Luděk Mašek,

Chemopetrol, k. ú. o. Výzkumný ústav anorganické chemie, Ústí nad Labem

Jaromír Lederer,

Chemopetrol, k. p. CHZ ČSSP, Výzkumný ústav pro chemické využití uhlovodíků, Litvinov

665.64

665.63

Redakce došlo 8. 6. 1968

V práci je uveden postup při komplexním zpracování dat získaných rozborem směsi kapalných uhlovodíků pro pyrolýzu a reakční směsi z pyrolyzního reaktoru. Reakční směs z pyrolýzy v množství asi 1 kg za hodinu prochází odběrovým zařízením, v němž kondenzují některé složky reakční směsi za atmosférického tlaku a teploty kolem 5 °C. Množství nezkonденzované složky se měří plynovými hodinami. Výsledky analýzy spolu s podmínkami v pyrolyzní peci jsou vstupními údaji programu, který počítá mimo jiné složení reakční směsi, konverzi reakce, reakční teplotu a dobu zdržení reakční směsi v pyrolyzním reaktoru.

Úvod

Pyrolýza, tepelné štěpení, je jedním z důležitých endotermických procesů chemické výroby. Pyrolýzou směsi uhlovodíků, nejčastěji benzínu, se vyrábí základní petrochemické produkty, tj. ethylen, propylen, frakce C4 a benzen.

Proces tepelného štěpení probíhá v pyrolyzních pecích a je vysoce energeticky náročný. Studium vlivu provozních parametrů peci na selektivitu a konverzi pyrolýzy a optimalizace provozu peci s ohledem na spotřebu energie a surovin může přinést značné ekonomické úspory.

Práce si klade za cíl seznámit čtenáře s komplexním zpracováním dat získaných rozborem vstupní suroviny a reakčních produktů z pyrolýzy.

Pokusná část

Vzorky produktů pyrolýzy se odebrávají z peci zářízením, jehož podrobný popis a funkce uvádí např. práce¹.

Z potrubí 1 na výstupu z peci (obr. 1) je vedena reakční směs (pyrolyzní plyn obsahující procesní páru, uhlovodíky vzniklé reakcí a malý zbytek nezreagované suroviny) s teplotou asi 400 °C do chladicího zařízení 2. V něm se pyrolyzní plyn ochladi vzhledem k mědienu na teplotu asi 50 °C. Zároveň zde zkondenzují uhlovodíky s výšším bodem varu a voda, směs uhlovodíků a vody (pyrolyzní kapalina) je jímána v nádobě 3. Plynná fáze se dále dochlazuje v chladicích 4 na teplotu asi 5 °C, přičemž zkondenzuje ještě malý podíl pyrolyzní kapaliny, který je jímán v nádobě 5. Průtok nezkondenzovaných uhlovodíků (převážně C₁ až C₄) se měří plynovými hodinami 6. Před těmito hodinami je místo pro odběr vzorku plynu 7. Ten je analyzován na plynovém chromatografu. Pyrolyzní kapalina z nádob 3 a 5 je rozdělena na vodu a uhlovodíkovou frakci. Uhlovodíková frakce je destilačí rozdělena na tzv. pyrolyzní benzín (destilát do 200 °C za atmosférického tlaku) a pyrolyzní olej (destilační zbytek). Pyrolyzní benzín je rovněž chromatograficky analyzován.

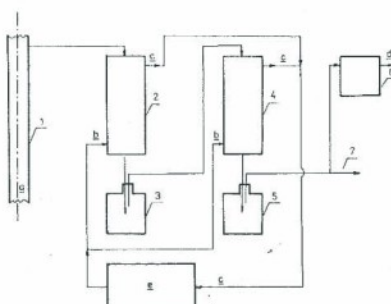
Kromě údajů získaných z odběrového zařízení a analýzy odebraných vzorků jsou další údaje o podmínkách pyrolýzy na průmyslové peci získávány z měřených údajů na pyrolyzní peci.

V tabulce I jsou shrnutý všechny údaje důležité pro definovaný popis pyrolýzy, které jsou získány z měření na pyrolyzní peci a pomocí odběrového zařízení.

Výpočet parametrů pyrolýzy z analýzy suroviny a reakční směsi

Z materiálové bilance kolem odběrového zařízení lze vyhodnotit výtěžky jednotlivých produktů pyrolýzy, a to z množství nezkondenzovaných uhlovodíků m_p , protekých plynovými hodinami a z hmotnosti pyrolyzního benzínu m_b a oleje m_o zachyceného v odběrovém zařízení. Z této hodnot lze určit hmotnostní zlomky nezkondenzovaných uhlovodíků x_p , pyrolyzního benzínu x_b a pyrolyzního oleje x_o v produktech pyrolýzy

$$x_p = \frac{m_p}{m_p + m_b + m_o} \quad (1)$$



Obr. 1. Schéma odběrového zařízení

a - reakční směs z pyrolýzy; b - chladicí médium, vstup; c - chladicí médium, výstup; d - nezkondenzované plyny, výstup do atmosféry;
e - chladicí agregát

Tabulka 1

Vstupní údaje charakterizující pyrolyzní reakci

| |
|---|
| a) získáno z odběrového zařízení |
| m_b — hmotnost pyrolyzního benzínu ze vzorku z odběrového zařízení 0,185 kg |
| m_g — hmotnost oddělené vody ze vzorku pyrolyzní kapaliny 0,801 kg |
| p — tlak plynu v místě 6 100 kPa |
| T_p — teplota plynu v místě 6 °C |
| V_p — objem plynu změřený v místě 7 (obr. 1) 0,974 m ³ |
| b) získáno měřením na pyrolyzní peci |
| F_{uhl} — prosození uhlovodíků trubkou pyrolyzni pece 4 000 kg h ⁻¹ |
| S/O — poměr hmotnostních průtoků procesní páry k uhlovodíkům v trubce pyrolyzni pece 0,62 |
| T_0 — teplota reakční směsi na výstupu z trubky pyrolyzni pece 825 °C |
| T_1 — teplota směsi uhlovodíků a procesní páry na vstupu do trubky pyrolyzni pece 520 °C |
| F_r — objem pyrolyzniho reaktoru 0,95 m ³ |
| P_0 — tlak reakční směsi na výstupu z trubky pyrolyzni pece 200 kPa |
| ΔP — tlaková strata v trubce pyrolyzni pece 60 kPa |
| c) hodnoty získané z chromatografické analýzy |
| x_p — vektor složení plynu odebraného v místě 9 (obr. 1) |
| x_b — vektor složení pyrolyzniho benzínu |
| x_s — vektor složení výchozí suroviny (primárního benzínu) |

$$x_b = \frac{m_b}{m_p + m_b + m_o} \quad (2)$$

$$x_o = \frac{m_o}{m_p + m_b + m_o} \quad (3)$$

Hmotnost uhlovodíků m_p nezkondenzovaných v odběrovém zařízení lze stanovit ze změřeného objemu plynu V_p a uvažováním korekce na obsah vodní páry v plynu:

$$m_p = \frac{(p - p_v)V_p}{R(T_p + 273,15)} M'_p \quad (4)$$

Tenzi vodních par v závislosti na teplotě lze určit např. podle *Vukaloviće*²:

$$\log p_v = 1,41966 \cdot 10^{-2} - 3,142305 [10^3/(T_p + 273,15) - 10^3/273,15] + 8,2 \log [373,15/(T_p + 273,15)] - 2,4804 \cdot 10^{-3} [100 - (T_p - 273,15)] + \log (98,0665) \quad (5)$$

Střední molekulová hmotnost plynné fáze nezkondenzovatelné v odběrovém zařízení M'_p je určena v chromatografické analýze této fáze (x_p).

Z hmotnosti zkondenzované vody, pyrolyzniho benzínu, oleje a plynu prošlého plynovými hodinami lze vypočítat poměr hmotnosti vody a uhlovodíků S/O a tento vypočtený poměr porovnat s údajem nastavěným na pyrolyzní peci.

$$(S/O)_{\text{odber}} = \frac{m_p V_p}{R(T_p + 273,15) M'_p} \quad (6)$$

Střední molekulová hmotnost produktu pyrolyzni reakce M'_{pr} (včetně nezreagovaných uhlovodíků pyrolyzované suroviny) je určena z chromatografické

analýzy (x_p , x_b) a odhadem střední molekulové hmotnosti oleje zachyceného odběrovým zařízením, který se chromatograficky neanalyzuje. Vzhledem k tomu, že množství oleje z pyrolyzy benzínu je malé (3 až 5 % hmot. na produkty pyrolyzy), je chybá způsobená tímto postupem zanedbatelná.

Střední molekulová hmotnost pyrolyzované suroviny M'_{pr} je stanovena z výsledku chromatografické analýzy (x_s). Vektor produktu pyrolyzy x_{pr} je stanoven z hodnot x_p , x_b a hmotností m_b , m_p a m_o .

Expanzní faktor, který vyjadřuje celkovou změnu molekulového čísla při pyrolyzni reakci, je určen pomocí

$$E = \frac{M'_s}{M'_{\text{pr}}} \quad (7)$$

Střední doba zdržení reakční směsi v trubce pyrolyzni pece t' se vypočte podle³ jako

$$t' = \frac{t_1 - t_0}{\ln \frac{t_1}{t_0}} \quad (8)$$

kde pro t_1 platí

$$t_1 = \frac{V_r}{R} \frac{P_0 - \Delta P}{F_{\text{uhl}}} \frac{1}{M'_s 3600} + \frac{F_{\text{uhl}} S/O}{18 3600} \frac{1}{(273,15 + T_1)} \quad (9)$$

a pro t_0 plyne

$$t_0 = \frac{V_r}{R} \frac{P_0}{F_{\text{uhl}} E + F_{\text{uhl}} S/O} \frac{1}{(273,15 + T_0)} \quad (10)$$

Reakční teplo pyrolyzy se vypočte

$$Q_1 = x_{\text{pr}}^T r_{\text{pr}} - x_s^T r_s - c_p \Delta T \quad (11)$$

kde

$$c_p \Delta T = (c'_{\text{p,pr}} - c'_{\text{p,s}}) (T_2 - T_1) \quad (12)$$

Spalná tepla produktu pyrolyzy zahrnutá ve vektoru spalných teplcí produktu r_{pr} a spalná tepla látek v surovině pro pyrolyzu r_s jsou převzata z literatury^{4,5}. V pyrolyzovaném benzínu bylo určeno skupinové složení alifatických uhlovodíků C₄ až C₉, obsah benzenu, toluenu a xylylenu. Spalná teplo alifatických uhlovodíků v dané skupině bylo approximováno hodnotou spalného tepla n-alkanů dané skupiny. Obdobně bylo postupováno v případě produktu pyrolyzy pro aromatické uhlovodíky C₁ až C₉ (většinou monoolefiny), spalná tepla C₁ až C₄ uhlovodíků v produktech pyrolyzy odpovídají analýzou zjištěnému typu uhlovodíku. Obdobně bylo postupováno při výpočtu středního měrného tepla produktu pyrolyzy i pyrolyzované suroviny, přičemž zdrojem dat byla literatura^{6,7,11}.

Výpočet konverze pyrolyzni reakce vychází z analýzy obsahu uhlovodíků v surovině a produktech pyrolyzy, o nichž lze z teoretického rozboru mechanismu pyrolyzy předpokládat, že nevznikají primární ani sekundární pyrolyzni reakce (viz práce^{8,9}). Bylo vybráno 10 uhlovodíků tohoto typu, a to n-hexan, n-heptan, n-octan, n-nonan, 2-methylpentan, 2-methylhexan, 3-methylpentan, 3-methylhexan, cyklohexan a methyleyklohexan. Konverze je vypočtena

Tabulka II

Výsledky chromatografické analýzy pyrolyzované suroviny (x_s)

| uhlíkovodíky [% hmot.] | uhlíkovodíky [% hmot.] |
|------------------------------------|------------------------|
| C ₄ ^{a)} 4,1 | etylhexan 4,03 |
| C ₅ ^{a)} 10,59 | benzen 2,1 |
| C ₆ ^{a)} 23,77 | toluén 2,87 |
| C ₇ ^{a)} 25,98 | xylény 2,1 |
| C ₈ ^{a)} 17,61 | |
| C ₉ ^{a)} 6,22 | |

^{a)} nearomáty

Tabulka III

Výsledky chromatografické analýzy plynu nezkondenzovaného v odběrovém zařízení (x_b) a pyrolyzního benzínu (x_b)

| složka | x _b [% mol.] | složka | x _b [% hmot.] |
|---------------------------------|----------------------------|--------------------------|-----------------------------|
| vodík | 15,2 | C ₄ uhlíkov. | 0,21 |
| propan | 0,2 | C ₅ uhlíkov. | 0,32 |
| propylen | 10,7 | C ₆ nearomat. | 2,33 |
| n-bután | 0,02 | C ₇ nearomat. | 4,34 |
| 1-butén + i-butén | 1,2 | C ₈ nearomat. | 1,71 |
| trans-2-butén | 0,1 | C ₉ nearomat. | 5,74 |
| cis-2-butén | 0,2 | benzen | 32,27 |
| 1,3-butadien | 2,2 | toluén | 27,42 |
| methan | 30,8 | xylény | 7,74 |
| C ₂ a C ₄ | 4,7 | othydrobenzen | 2,57 |
| uhlíkovodíky | 30,9 | styren | 8,22 |
| ethylen | 3,5 | C ₉ -aromáty | 7,01 |

Tabulka IV

Obsah uhlíkovodíků pro výpočet konverze reakce v pyrolyzované surovině a v pyrolyzním benzínu

| uhlíkovodík | surovina [% hmot.] | pyrolyzní benzin [% hmot.] |
|------------------|-----------------------|----------------------------------|
| n-hexan | 8,8 | 0,478 |
| n-heptan | 7,58 | 0,465 |
| n-octan | 5,36 | 0,15 |
| n-nonan | 1,8 | 0 |
| 2-methylpentan | 4,39 | 0,134 |
| 2-methylhexan | 4,54 | 0 |
| 3-methylpentan | 3,08 | 0 |
| 3-methylhexan | 3,92 | 0 |
| cyklohexan | 3,57 | 0,886 |
| methylcyklohexan | 5,74 | 0,665 |

konverze molární 99,16 %, konverze hmotnostní 99,19 %

Výsledky a diskuse

Na pyrolyzní peci byl pyrolyzován benzin a reakční produkty byly v množství asi 1 m³ h⁻¹ odebrány při teplotě 450 °C do odběrového zařízení podle obrázku I. V tabulce I jsou uvedeny hodnoty získané odběrovým zařízením a měřením na pyrolyzní peci. Výsledky chromatografické analýzy pyrolyzované suroviny, nezkondenzovaných plynů a pyrolyzního benzínu jsou shrnutý v tabulkách II a III. V tabulce IV jsou shrnutý výsledky chromatografické analýzy pro 10 složek v pyrolyzované surovině a pyrolyzním benzínu pro výpočet konverze reakce. V tabulce V jsou uvedeny vypočtené hodnoty parametrů pyrolyzní reakce. Výpočet reakčního tepla vychází ze vztahu (11), (12) při teplotě $T_1 = 25$ °C, pro kterou jsou tabulovány hodnoty spalných tepel. Střední měrná tepla suroviny a produktů mají prakticky shodnou hodnotu, korekční člen ze vztahu (11) $c_p AT$ by bylo tudíž možné zanedbat. Podobnost měrných tepel suroviny a produktů je způsobena podobnými termodynamickými vlastnostmi alifatických a olefinických uhlíkovodíků.

V tabulce VI jsou shrnutý hmotnostní zlomky nezkondenzovaných uhlíkovodíků, pyrolyzního benzínu a oleje v produktech, zjištěn pomocí odběrového zařízení, hodnota střední molekulové hmotnosti produktů a suroviny a poměr S/O zjištěný v odběrovém zařízení.

Při pyrolyze benzínu převládá v produktech reakce nezkondenzovatelný podíl při teplotě kolem 0 °C s minimálním množstvím olejů. Expanzní faktor přesahuje hodnotu $E > 3$. V tabulce VII je uvedeno složení produktů pyrolyzy v hmotnostních procentech. Z tabulky VII je zřejmé, že methan, ethylen a propan tvoří více než 50 % hmotnostní produkce pyrolyzy, měrně se zvyšuje obsah aromatických uhlíkovodíků (asi 20 %).

Složení reakční směsi z pyrolyzy uvedené v tabulce VII se plně neshoduje s celkovými výtlékami pyrolyzy benzínu v ethylenové jednotce. Je to tím, že ethan obsažený v produktech pyrolyzy benzínu se obvykle recykluje a štěpi na ethylen. Kromě toho, moderní ethylenová jednotka obsahuje často proces katalytické hydrodealkylace alkylarylamátů na benzen, v němž vznikají jako vedlejší produkty lehké uhlíkovodíkové plyny, které se rovněž vracejí do pyrolyzy jako zdroj ethylenu. Přepočet celkových výtléků pyrolyzy benzínu podle podmínek dané ethylenové jednotky je však již snadný.

Závěr

Předložená práce ukázala na možnost komplexního zpracování dat získaných při pyrolyze kapalných

Tabulka V
Termodynamické parametry pyrolyzní reakce

| | | | | | |
|-------------|------------------------------|--|-------|---|--------------------------|
| $c_{p,s}'$ | střední měrné teplo suroviny | 2,98 kJ kg ⁻¹ K ⁻¹ | Q_f | reakční teplo na kg suroviny | 1477 kJ kg ⁻¹ |
| $c_{p,pr}'$ | střední měrné teplo produkce | 2,96 kJ kg ⁻¹ K ⁻¹ | t' | střední doba zdržení reakční směsi ve trubce peci | 0,47 s |

Tabulka VI
Charakteristika produkce pyrolyzy

| | | | |
|-------|------|-----------------|-------|
| x_p | 0,82 | $(S/O)_{odber}$ | 0,613 |
| x_b | 0,14 | M'_{pr} | 29,70 |
| x_s | 0,04 | | |

Tabulka VII
Hmotnosti procentické složení produktů pyrolyzy benzínu

| látká | [% hmot.] | látká | [% hmot.] |
|---|-----------|---------------------------|-----------|
| vodík | 0,98 | C ₆ -nearomaty | 0,81 |
| methan | 15,76 | benzen | 4,54 |
| ethan | 3,36 | toluen | 3,85 |
| etylén | 27,64 | xylyny | 1,09 |
| propan | 0,28 | ethylbenzen | 0,36 |
| propylen | 14,36 | styren | 1,16 |
| C ₄ -frakce | 6,72 | C ₈ -aromaty | 0,99 |
| v tom 1,3-butadien | 3,79 | pyrolyzní olej | 4,0 |
| C ₅ + C ₆ nearomaty | 13,25 | | |
| C ₇ -nearomaty | 0,61 | | |
| C ₈ -nearomaty | 0,24 | | |

uhlovodíků. Kvantitativní složení produkce pyrolyzy se může stát podkladem pro racionální nákladovou analýzu pyrolyzy.

Seznam symbolů

- E — expandní faktor
- F_{uhv} — hmotnostní průtok trubek reaktoru [kg h^{-1}]
- M'_p — střední molekulová hmotnost neuskondenzovaných uhlovodíků [kg kmol^{-1}]
- M'_{pr} — střední molekulová hmotnost produktů pyrolyzní reakce [kg kmol^{-1}]
- M'_s — střední molekulová hmotnost suroviny [kg kmol^{-1}]
- M'_v — molekulová hmotnost vody [kg kmol^{-1}]
- P_0 — tlak na výstupu z trubky reaktoru [kPa]
- ΔP — tlaková ztráta v trubce reaktoru [kPa]
- r — reakční teplo pyrolyzy [kJ kg^{-1}]
- R — universální plynový konstanta [$\text{kJ mol}^{-1}\text{K}^{-1}$]
- S/O — poměr hmotnostních průtoků páry a uhlovodíků
- T — v trubce pyrolyzní pecce
- t — teplota na vstupu do trubky reaktoru [$^{\circ}\text{C}$]

- T_0 — teplota na výstupu z trubky reaktoru [$^{\circ}\text{C}$]
- T_p — teplota plynu (neuskondenzovaných uhlovodíků) [$^{\circ}\text{C}$]
- T_1 — teplota tabulace spaliných teplcí [25 $^{\circ}\text{C}$]
- T_2 — reakční teplota pyrolyzy [$^{\circ}\text{C}$]
- V_p — objem neuskondenzovaných uhlovodíků [m^3]
- V_p' — objem reaktoru [m^3]
- $c_{p,t}$ — střední měrné teplo produkce [$\text{kJ kg}^{-1}\text{K}^{-1}$]
- $c_{p,s}$ — střední měrné teplo suroviny [$\text{kJ kg}^{-1}\text{K}^{-1}$]
- m_b — hmotnost pyrolyzního benzinu [kg]
- m_g — hmotnost pyrolyzního oleje [kg]
- m_p — hmotnost neuskondenzovaných uhlovodíků [kg]
- p — tlak plynnu (neuskondenzovaných uhlovodíků) [kPa]
- p_v — tenzor vodního páry [kPa]
- F_{pr} — vektor spaliných teplíc složek produkce [kJ kg^{-1}]
- F_{sr} — vektor spaliných teplíc složek suroviny [kJ kg^{-1}]
- t_1 — střední doba zdržení reakční směsi v trubce reaktoru [s]
- t_2 — doba zdržení reakční směsi při teplotě T_1 [s]
- t_3 — doba zdržení reakční směsi při teplotě T_2 [s]
- x_b — hmotnostní složek pyrolyzního benzinu
- x_o — hmotnostní složek pyrolyzního oleje
- x_p — hmotnostní složek neuskondenzovaných uhlovodíků
- X_b — vektor složení pyrolyzního benzinu [% hmot.]
- X_o — vektor složení neuskondenzovaných uhlovodíků [% hmot.]
- X_{pr} — vektor produktů [v (11) hmot. složky] % hmot. (1)
- X_{sr} — vektor složení suroviny [v (11) hmot. složky] % hmot. (1)

dolní indexy

- b — pyrolyzní benzin
- o — pyrolyzní olej
- p — neuskondenzované uhlovodíky
- pr — produkt
- s — surovina
- v — voda

Literatura

- Kuzmin S. T., Kozlov I. A., Kudrjašov V. P., Kopernickij J. Golik A.: *Avtomatisirovannaja sistema upravlenija kruzenotomažnym proizvodstvem etilena*, Chimija, Moskva 1988. — 2. Vukalovič M. P.: *Tablitsy termodynamickich svojstv cody i vodivogo para*, Gosenergoizdat, 7. vydání, 17, Moskva 1963. — 3. Ruckart M. J., Martens X. M., Desarnauts J.: *Comp. Chem. Eng.* 2, 93 (1978). — 4. Perry R. M.: *Chemical Engineers' Handbook*, 5th Ed., 3-145, McGraw — Hill, 1973. — 5. Kirk — Othmer: *Encyclopædia of Chemical Technology*, 3rd Ed. 21, 771, John Wiley and Sons (1983). — 6. Himmelblau D. M.: *Basic Principles and Calculations in Chemical Engineering*, 3rd Ed., Prentice — Hall, Inc., New Jersey 1974. — 7. Vargantik N. B.: *Spravočnik po teplofisikačkim svojstvam gazov i liazdostej*, Nauka, Moskva 1972. — 8. Van Damme P. S., Fronent G. F., Bathasar W. B.: *Ind. Eng. Chem. Process Des.* 20, 366 (1981).

Přestup tepla při míchání suspenzí ve velkoobjemových polymeračních reaktorech

Ladislav Prokopec,
Chemopetrol, Výzkumný ústav syntetického kaučuku k. ú. o., Kralupy nad Vltavou
Karel Krofta,
Výzkumný a šlechtitelský ústav chmelářský, Žatec

66.095.252.3
66.063.7
66.021.4

Redakce došlo 11. 5. 1988

Autoři uvádějí výsledky systematického měření přestupu tepla v provozním polymeračním reaktoru $V_{us} = 37 \text{ m}^3$, při míchání vodních systémů s různou koncentrací kulových polystyrenových částic. Je diskutováno použití různých výpočtových vztahů pro střední fyzikální vlastnosti suspenze. Měřeno bylo jednak na novém, zcela čistém zařízení, jednak na zařízení po různé době používání. Byl vyhodnocen vliv polymerních úsad vnitřní stěny reaktoru na přestup tepla.